

# НЕЛИНЕЙНЫЕ ВОЛНЫ НА СВОБОДНОЙ ПОВЕРХНОСТИ ДИЭЛЕКТРИЧЕСКОЙ ЖИДКОСТИ В НАКЛОННОМ ЭЛЕКТРИЧЕСКОМ ПОЛЕ

*М. А. Гашков<sup>a</sup>, Н. М. Зубарев<sup>a,b\*</sup>, Е. А. Кочурин<sup>a\*\*</sup>*

*<sup>a</sup> Институт электрофизики Уральского отделения Российской академии наук  
620016, Екатеринбург, Россия*

*<sup>b</sup> Физический институт им. П. Н. Лебедева Российской академии наук  
119991, Москва, Россия*

Поступила в редакцию 13 мая 2015 г.

Исследована нелинейная динамика свободной поверхности идеальной диэлектрической жидкости, помещенной во внешнее наклонное электрическое поле. В рамках гамильтонова формализма получена система нелинейных интегродифференциальных уравнений, описывающая динамику нелинейных волн в малоугловом приближении. Показано, что для жидкости с высокой диэлектрической проницаемостью уравнения допускают решение в виде плоских волн произвольной формы, распространяющихся без искажений в направлении горизонтальной составляющей внешнего поля.

DOI: 10.7868/S0044451015090199

## 1. ВВЕДЕНИЕ

Известно [1], что достаточно сильное внешнее электрическое поле, направленное по нормали к невозмущенной границе непроводящей жидкости, приводит к развитию неустойчивости поверхности. Задача об эволюции границы жидкости в вертикальном поле достаточно хорошо изучена — см. работы [2–6] для идеальной диэлектрической жидкости без свободного поверхностного заряда, работы [7–11] для диэлектрической жидкости со свободным поверхностным зарядом (в частности, жидкого гелия и водорода с заряженными ионами или электронами поверхностью). Следует упомянуть также случай идеально проводящей жидкости [12–14], рассмотрение которого аналогично рассмотрению жидкого диэлектрика с формально бесконечной диэлектрической проницаемостью [15].

Направленное по касательной к границе непроводящей жидкости электрическое поле, в отличие от нормального поля, оказывает на нее стабилизирующее воздействие [16]. Возможность подавления тангенциальным полем неустойчивостей Рэлея–Тейлора

и Кельвина–Гельмгольца рассматривалась в работах соответственно [17, 18] и [19]. Распространению нелинейных волн в присутствии горизонтального поля посвящены, к примеру, работы [20–24].

Внешнее поле, направленное под углом к поверхности, может как стабилизировать, так и дестабилизировать границу жидкости. Характер влияния наклонного поля зависит от угла наклона и величины диэлектрической проницаемости жидкости. Интерес к исследованию динамики поверхности жидкости в наклонном электрическом или магнитном поле обусловливается возможностью управления ее поведением [25–29].

При исследовании поведения жидкостей со свободной поверхностью естественно осуществить редукцию уравнений движения среды к уравнениям более низкой размерности для движения непосредственно ее границы. В случае общего положения получаемые уравнения оказываются нелокальными (они содержат интегродифференциальные операторы), что значительно затрудняет их анализ. Как правило, при анализе нелинейной динамики диэлектрических жидкостей в электрическом поле либо магнитных жидкостей в магнитном поле (эти задачи эквивалентны с математической точки зрения) используются приближения мелкой воды [3, 30, 31] или спектральной узости волнового пакета [2, 7, 4, 28].

\*E-mail: nick@iep.uran.ru

\*\*E-mail: kochurin@iep.uran.ru

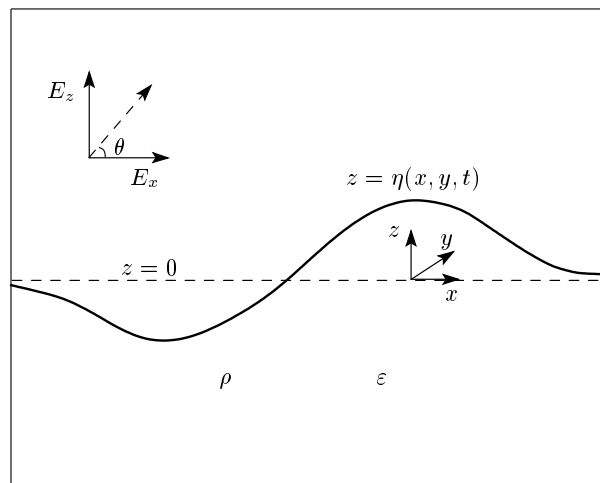
Оба подхода позволяют свести исходную задачу к рассмотрению сравнительно простых (локальных) уравнений в частных производных.

В настоящей работе мы продемонстрируем, что нелинейная динамика свободной поверхности непроводящей жидкости в наклонном электрическом поле может быть описана аналитически вне рамок этих приближений в ситуации, когда электростатические силы доминируют над капиллярными и гравитационными. Для волн малой, но конечной амплитуды будут получены интегродифференциальные уравнения, описывающие распространение волн в направлении горизонтальной составляющей поля. Эти уравнения могут быть решены аналитически в частном случае жидкости со значительной диэлектрической проницаемостью. Согласно найденным решениям, нелинейные волны произвольной геометрии способны распространяться без искажений, что в целом аналогично волнам в горизонтальном поле [22, 23].

Работа построена следующим образом. В разд. 2 проведен анализ дисперсионного соотношения для линейных волн на границе жидкости. Сформулированы условия, при которых электростатические силы будут играть доминирующую роль в эволюции волн. В следующем разд. 3 выписаны уравнения движения идеальной диэлектрической жидкости в наклонном электрическом поле. В разд. 4 в рамках гамильтонова формализма получены слабонелинейные уравнения движения границы жидкости. Разделы 5 и 6 содержат вывод и анализ уравнений, описывающих распространение нелинейных волн в одном выделенном направлении; показано, что волны конечной амплитуды могут распространяться без изменения формы. В заключительном разд. 7 обсуждаются условия реализации подобного режима распространения волн.

## 2. АНАЛИЗ ДИСПЕРСИОННОГО СООТНОШЕНИЯ

Рассмотрим динамику идеальной непроводящей жидкости со свободной поверхностью во внешнем наклонном электрическом поле. В невозмущенном состоянии поверхность жидкости представляет собой плоскость  $z = 0$  (оси  $x$  и  $y$  прямоугольной системы координат лежат в этой плоскости, а ось  $z$  направлена по нормали к ней). Внешнее электрическое поле над жидкостью имеет две компоненты:  $E_x$  вдоль оси  $x$  (горизонтальная компонента) и  $E_z$  вдоль оси  $z$  (вертикальная) — см. рисунок. Угол наклона вектора напряженности поля к невозмущенной



Схематически показана геометрия задачи

границе есть  $\theta = \text{arctg}(E_z/E_x)$ . Не теряя общности, можно считать, что  $E_x \geq 0, E_z \geq 0$  и, соответственно,  $0^\circ \leq \theta \leq 90^\circ$ .

Положим, что форма поверхности задается уравнением  $z = \eta(x, y, t)$ . Дисперсионное соотношение для линейных волн на границе,

$$\eta \sim \exp(ik_x x + ik_y y - i\omega t),$$

можно представить в виде [25]

$$\omega^2 = g|\mathbf{k}| + \frac{\varepsilon_0(\varepsilon - 1)^2}{\rho(\varepsilon + 1)} (E_x^2 k_x^2 - \varepsilon^{-1} E_z^2 k^2) + \frac{\sigma}{\rho} |\mathbf{k}|^3, \quad (1)$$

где  $\omega$  — частота,  $k_x$  и  $k_y$  — проекции волнового вектора  $\mathbf{k}$  на оси  $x$  и  $y$ ,  $\varepsilon_0$  — электрическая постоянная,  $\varepsilon$  — диэлектрическая проницаемость жидкости,  $\rho$  — ее плотность,  $\sigma$  — коэффициент поверхностного натяжения. Оно является комбинацией законов дисперсии для случаев вертикального и горизонтального электрических полей [1, 16], влияние которых в линейном приближении является взаимно независимым.

Из дисперсионного соотношения (1) видно, что поведение волн значительно зависит от направления вектора  $\mathbf{k}$ . Такая анизотропия возникает из-за наклона вектора напряженности поля в направлении оси  $x$ . Электростатические силы, обусловленные наличием тангенциальной компоненты поля, оказывают стабилизирующее воздействие на свободную поверхность жидкости. Однако, в отличие от капиллярных и гравитационных сил, электростатические

силы стабилизируют поверхность только в направлении оси  $x$  и не влияют на ее динамику в поперечном направлении. Эволюция плоских волн, распространяющихся вдоль оси  $y$ , полностью определяется вертикальной компонентой поля  $E_z$ . Как отмечалось в разд. 1, поведение поверхности жидкости в вертикальном поле хорошо изучено. Поэтому в настоящей работе мы рассмотрим плоские волны, распространяющиеся вдоль оси  $x$  (применительно к закону дисперсии (1) это означает  $k_y = 0$ ), т. е. ситуацию, когда и вертикальная, и горизонтальная компоненты поля играют существенную роль. Условия, при которых подобное приближение оправдано, будут сформулированы в разд. 7 работы.

Поверхность жидкости устойчива по отношению к малым возмущениям вдоль оси  $x$  (т. е.  $\omega^2 \geq 0$  для любых  $k_x$ ) и, следовательно, по ней будут распространяться волны при

$$\varepsilon E_x^2 + E_c^2 \geq E_z^2, \quad E_c^2 \equiv \frac{2\varepsilon(\varepsilon + 1)\sqrt{\rho g \sigma}}{\varepsilon_0(\varepsilon - 1)^2}. \quad (2)$$

Исследуем предельный случай, когда электростатические силы играют доминирующую роль в распространении волн (в частности, скорость волн намного превышает скорость гравитационно-капиллярных волн). Он реализуется, если значение горизонтальной компоненты электрического поля достаточно велико:

$$\varepsilon E_x^2 - E_z^2 = E_x^2(\varepsilon - \text{tg}^2 \theta) \gg E_c^2. \quad (3)$$

Тогда появляется диапазон волновых чисел, в котором влиянием капиллярных и гравитационных сил можно пренебречь. Он задается неравенством

$$gV_0^{-2} \ll k_x \ll \rho V_0^2 / \sigma, \quad (4)$$

где мы ввели постоянную

$$V_0 = E_x(\varepsilon - 1) \sqrt{\frac{\varepsilon_0(\varepsilon - \text{tg}^2 \theta)}{\rho\varepsilon(\varepsilon + 1)}},$$

имеющую смысл скорости распространения волн вдоль оси  $x$ . Видно, что скорость  $V_0$  уменьшается при увеличении угла наклона поля  $\theta$ .

Необходимым условием реализации (3) является, очевидно, следующее:

$$\varepsilon > \text{tg}^2 \theta. \quad (5)$$

Оно естественным образом выполняется для любой жидкости при  $0 \leq \theta < 45^\circ$ , а также для жидкостей с достаточно большим значением проницаемости  $\varepsilon$  при любых углах  $\theta$ , кроме прямого. Отметим, что

неравенство (5) либо (3) автоматически обеспечивает выполнение условия устойчивости (2).

При справедливости (3) дисперсионное соотношение для волн, имеющих только  $x$ -компоненту волнового вектора ( $k_y = 0$ ), примет простой вид:

$$\omega^2 \approx V_0^2 k_x^2, \quad (6)$$

соответствующий линейному одномерному волновому уравнению. Согласно (6) малые возмущения поверхности будут бездисперсионно распространяться в направлении либо против направления оси  $x$ .

### 3. ИСХОДНЫЕ УРАВНЕНИЯ

Выпишем уравнения движения для случая плоской симметрии задачи (нет зависимости от  $y$ ). Будем считать жидкость невязкой и несжимаемой, а ее течение — безвихревым (потенциальным). Потенциалы скорости жидкости ( $\Phi$ ) и электрического поля внутри ( $\varphi_1$ ) и вне ( $\varphi_2$ ) жидкости удовлетворяют уравнениям Лапласа

$$\nabla^2 \Phi = 0, \quad \nabla^2 \varphi_{1,2} = 0.$$

Для потенциалов поля должны выполняться граничные условия

$$\varphi_1 = \varphi_2, \quad \varepsilon \partial_n \varphi_1 = \partial_n \varphi_2, \quad z = \eta(x, t), \quad (7)$$

где  $\partial_n$  — производная в направлении нормали к поверхности  $z = \eta$ . Они соответствуют требованиям непрерывности тангенциальной компоненты вектора напряженности электрического поля и нормальной компоненты вектора электрической индукции на поверхности раздела (считаем, что свободные поверхностные заряды на границе отсутствуют). На удалении от границы движение жидкости затухает, а электрическое поле становится однородным:

$$\Phi \rightarrow 0, \quad \varphi_1 \rightarrow -E_x x - \varepsilon^{-1} E_z z, \quad z \rightarrow -\infty,$$

$$\varphi_2 \rightarrow -E_x x - E_z z, \quad z \rightarrow +\infty.$$

Введем вспомогательную функцию  $\psi(x, t) = \Phi|_{z=\eta}$ . Уравнения движения границы (нестационарное уравнение Бернулли и кинематическое граничное условие) представимы в гамильтоновой форме [32], причем функции  $\eta$  и  $\psi$  являются канонически-сопряженными величинами:

$$\psi_t = -\frac{\delta H}{\delta \eta}, \quad \eta_t = \frac{\delta H}{\delta \psi}. \quad (8)$$

Гамильтониан системы  $H$  имеет вид [2]

$$H = -\frac{\varepsilon_0 \varepsilon}{2} \int_{z \leq \eta} [(\nabla \varphi_1)^2 - E_x^2 - \varepsilon^{-2} E_z^2] d^2 r - \frac{\varepsilon_0}{2} \int_{z \geq \eta} [(\nabla \varphi_2)^2 - E_x^2 - E_z^2] d^2 r + \frac{\rho}{2} \int_{z \leq \eta} (\nabla \Phi)^2 d^2 r.$$

В совокупности приведенные соотношения представляют собой замкнутую систему уравнений, описывающих движение диэлектрической жидкости со свободной поверхностью под действием электростатических сил, обусловленных наличием внешнего наклонного электрического поля.

Введем возмущения потенциалов поля:

$$\tilde{\varphi}_1 = \varphi_1 + E_x x + \varepsilon^{-1} E_z z, \quad \tilde{\varphi}_2 = \varphi_2 + E_x x + E_z z.$$

Для них справедливо соотношение:  $\tilde{\varphi}_{1,2} \rightarrow 0$  при  $z \rightarrow \mp \infty$ . Применяя первую теорему Грина и используя граничные условия (7), гамильтониан можно представить в виде интеграла по свободной поверхности:

$$H = \frac{\varepsilon_0(\varepsilon - 1)E_z}{2} \int_S \eta \partial_n \tilde{\varphi}_1 dS - \frac{\varepsilon_0(\varepsilon - 1)E_x}{2} \int_S \frac{\tilde{\varphi}_1 \eta_x}{\sqrt{1 + \eta_x^2}} dS + \frac{\rho}{2} \int_S \psi \partial_n \Phi dS, \quad (9)$$

где  $dS$  — дифференциал поверхности.

#### 4. МАЛОУГЛОВОЕ ПРИВЛИЖЕНИЕ

Рассмотрим динамику жидкости в приближении малости углов наклона поверхности:

$$|\eta_x| \sim \alpha \ll 1,$$

где  $\alpha$  — малый параметр. Для удобства перейдем к безразмерным обозначениям:

$$\Phi \rightarrow \frac{\Phi E_x}{k_0} \sqrt{\frac{\varepsilon_0 \varepsilon}{\rho}}, \quad \psi \rightarrow \frac{\psi E_x}{k_0} \sqrt{\frac{\varepsilon_0 \varepsilon}{\rho}}, \quad \tilde{\varphi}_{1,2} \rightarrow \frac{\tilde{\varphi}_{1,2} E_x}{k_0},$$

$$\eta \rightarrow \frac{\eta}{k_0}, \quad t \rightarrow \frac{t}{E_x k_0} \sqrt{\frac{\rho}{\varepsilon_0 \varepsilon}}, \quad \mathbf{r} \rightarrow \frac{\mathbf{r}}{k_0},$$

где  $k_0$  — характерное волновое число, лежащее в интервале (4).

Для построения уравнений движения поверхности необходимо выразить гамильтониан системы через канонические переменные  $\eta$  и  $\psi$  и, следовательно, разложить по ним входящие в (9) величины  $\tilde{\varphi}_1$ ,

$\partial_n \tilde{\varphi}_1$  и  $\partial_n \Phi$ . Воспользуемся тем, что для гармонических функций, затухающих при  $z \rightarrow \mp \infty$  (потенциалы  $\Phi$ ,  $\tilde{\varphi}_1$  и, соответственно,  $\tilde{\varphi}_2$ , а также их всевозможные производные), справедливы равенства

$$\partial_z \phi_{1,2}|_{z=0} = \mp \partial_x \hat{H} \phi_{1,2}|_{z=0},$$

$$\phi_{1,2}|_{z=\eta} = \phi_{1,2}|_{z=0} + \eta \partial_z \phi_{1,2}|_{z=0} + \dots,$$

где  $\hat{H}$  — преобразование Гильберта, определяемое как

$$\hat{H}\phi(x) = \frac{1}{\pi} \text{P.V.} \int_{-\infty}^{\infty} \frac{\phi(x')}{x - x'} dx'$$

и обладающее следующими свойствами:

$$\hat{H}^2 = -1, \quad 2\hat{H}\phi\hat{H}\phi = (\hat{H}\phi)^2 - \phi^2.$$

Используя эти соотношения в сочетании с граничными условиями (7), после несложных, но довольно громоздких преобразований получим для безразмерного гамильтониана системы с точностью до кубических слагаемых в подынтегральном выражении:

$$H = \frac{1}{2} \int \psi_x \hat{H}\psi dx + \frac{(\varepsilon - \text{tg}^2 \theta)(\varepsilon - 1)^2}{2\varepsilon^2(\varepsilon + 1)} \int \eta_x \hat{H}\eta dx - \int \eta \hat{H}\psi_x \hat{H}\psi_x dx - \frac{2 \text{tg} \theta (\varepsilon - 1)^2}{\varepsilon(\varepsilon + 1)^2} \int \eta \eta_x \hat{H}\eta_x dx - \frac{(\varepsilon + \text{tg}^2 \theta)(\varepsilon - 1)^3}{\varepsilon^2(\varepsilon + 1)^2} \int \eta \hat{H}\eta_x \hat{H}\eta_x dx.$$

Вычисляя вариационные производные, находим из (8) искомые уравнения движения:

$$\psi_t - v_0^2 \hat{H}\eta_x = \hat{H}\psi_x \hat{H}\psi_x + \frac{(\varepsilon + \text{tg}^2 \theta)(\varepsilon - 1)^3}{\varepsilon^2(\varepsilon + 1)^2} \times$$

$$\times \left[ \hat{H}\eta_x \hat{H}\eta_x + \hat{H}(\eta \hat{H}\eta_x)_x + (\eta \eta_x)_x \right] +$$

$$+ \frac{2 \text{tg} \theta (\varepsilon - 1)^2}{\varepsilon(\varepsilon + 1)^2} \left[ \hat{H}(\eta \eta_x)_x - \eta \hat{H}\eta_{xx} \right] + O(\alpha^3), \quad (10)$$

$$\eta_t + \hat{H}\psi_x = -\hat{H}(\eta \hat{H}\psi_x)_x - (\eta \psi_x)_x + O(\alpha^3), \quad (11)$$

где  $v_0$  — безразмерная скорость распространения волн, определяемая выражением

$$v_0 = \frac{(\varepsilon - 1)\sqrt{\varepsilon - \text{tg}^2 \theta}}{\varepsilon\sqrt{\varepsilon + 1}}.$$

Для анализа системы нелинейных уравнений (10) и (11) удобно ввести новые функции:

$$f = \frac{\eta + v_0^{-1} \hat{H}\psi}{2}, \quad g = \frac{\eta - v_0^{-1} \hat{H}\psi}{2}.$$

Смысл этого преобразования становится понятным, если переписать с их использованием линеаризованные уравнения (10) и (11). Находим, что

$$f_t + v_0 f_x = 0, \quad g_t - v_0 g_x = 0. \quad (12)$$

Как видно, уравнение для  $f$  описывает бездисперсионное распространение линейной волны в положительном направлении оси  $x$  со скоростью  $v_0$ , а уравнение для  $g$  — в отрицательном направлении. Таким образом, функции  $f$  и  $g$  соответствуют волнам, распространяющимся в противоположных направлениях.

### 5. РАСПРОСТРАНЕНИЕ НЕЛИНЕЙНЫХ ВОЛН

В рамках линейного приближения (12) условие  $g = 0$  соответствует волнам, распространяющимся по направлению оси  $x$ , а условие  $f = 0$  — против направления оси  $x$ . При рассмотрении нелинейных волн, когда  $f$  и  $g$  будут взаимодействовать, для волн, бегущих в положительном направлении, следует ожидать, что  $g = O(f^2)$ , а в отрицательном направлении — что  $f = O(g^2)$ .

Проанализируем эволюцию волн в рамках квадратично нелинейных интегродифференциальных уравнений (10) и (11). Для определенности рассмотрим волну, распространяющуюся по направлению оси  $x$ . Удобно ввести вспомогательные переменные  $\xi = x - v_0 t$  и  $\tau = \alpha t$ , что соответствует рассмотрению медленной эволюции волны ( $\tau$  — медленное время) в движущейся вместе с волной системе отсчета ( $\xi$  — соответствующая пространственная переменная).

Будем искать функции  $f$  и  $g$  в виде

$$f = \alpha F(\xi, \tau), \quad g = \alpha^2 G(\xi, \tau). \quad (13)$$

После подстановки (13) в уравнения (10) и (11) в основном порядке разложения по  $\alpha$  получим

$$F_\tau = v_0(\gamma - 1) \left[ \hat{H}(FF_\xi)_\xi - (F\hat{H}F_\xi)_\xi - F_\xi \hat{H}F_\xi \right] - \beta \left[ (FF_\xi)_\xi + \hat{H}F\hat{H}F_\xi \right], \quad (14)$$

$$2G_\xi = (\gamma + 1) \left[ \hat{H}(FF_\xi)_\xi + (F\hat{H}F_\xi)_\xi \right] - (\gamma - 1)F_\xi \hat{H}F_\xi - v_0^{-1}\beta \left[ (FF_\xi)_\xi + \hat{H}F\hat{H}F_\xi \right], \quad (15)$$

где мы обозначили

$$\gamma = \frac{(\varepsilon - 1)(\varepsilon + \text{tg}^2 \theta)}{(\varepsilon + 1)(\varepsilon - \text{tg}^2 \theta)}, \quad \beta = \frac{2(\varepsilon - 1) \text{tg} \theta}{(\varepsilon + 1)\sqrt{\varepsilon(\varepsilon - \text{tg}^2 \theta)}}.$$

Оператор Гильберта в этих уравнениях действует по переменной  $\xi$ . Отметим, что в правой части ключевого уравнения (14) имеются две группы нелинейных слагаемых. Первая группа обращается в нуль при  $\theta = 45^\circ$ , а вторая — при  $\theta = 0$ .

Важной особенностью полученной системы является то, что уравнение (14) оказывается автономным (в него не входит функция  $G$ ), а уравнение (15) — линейным относительно  $G$  (его решение легко получить интегрированием по  $\xi$ ).

### 6. СЛУЧАЙ ЗНАЧИТЕЛЬНОЙ ПРОНИЦАЕМОСТИ ЖИДКОСТИ

Построение решения нелинейного интегродифференциального уравнения (14) в общем случае затруднительно. Однако, как несложно заметить, это уравнение радикально упрощается в случае малости коэффициентов  $v_0(\gamma - 1)$  и  $\beta$ . Правая (нелинейная) часть (14) тогда обращается в нуль. Подобная ситуация возникает при выполнении условия

$$\varepsilon \gg \max(\text{tg}^2 \theta, 1). \quad (16)$$

Действительно, тогда  $\gamma \approx 1$ ,  $v_0 \approx 1$ ,  $\beta \approx 0$ , и уравнения (14), (15) примут следующий компактный вид

$$F_\tau = 0, \quad G_\xi = \hat{H}(FF_\xi)_\xi - (F\hat{H}F_\xi)_\xi. \quad (17)$$

С физической точки зрения условие (16) соответствует рассмотрению непроводящей жидкости с высокой диэлектрической проницаемостью. Так, к примеру, при  $\varepsilon = 10$  и  $\theta = 30^\circ$  (тогда  $\text{tg}^2 \theta \approx 0.3$ ) для коэффициентов в уравнении (14) имеем

$$v_0(\gamma - 1) \approx -0.1, \quad \beta \approx 0.1,$$

т. е. их можно считать малыми. Отметим, что для таких жидкостей, как вода ( $\varepsilon \approx 81$ ), нитробензол ( $\varepsilon \approx 36$ ), этиловый спирт ( $\varepsilon \approx 26$ ), условие (16) выполняется практически при любых углах  $\theta$  (исключение составляет некоторая окрестность прямого угла  $\theta = 90^\circ$ ).

Решение системы (17) записывается в виде

$$F = F(\xi), \quad G = G(\xi) = \hat{H}FF_\xi - F\hat{H}F_\xi,$$

т. е.  $F$  — произвольная функция  $\xi$ , не зависящая от времени  $\tau$ . Функция  $G$ , как видно, целиком определяется функцией  $F$  и, следовательно, также зависит лишь от переменной  $\xi$ .

В терминах исходных функций  $\eta$  и  $\psi$  получим

$$\eta = \eta(x - v_0 t) = \alpha F + \alpha^2 G + O(\alpha^3), \\ \psi = \psi(x - v_0 t) = -\alpha v_0 \hat{H}F + \alpha^2 v_0 \hat{H}G + O(\alpha^3),$$

т. е. возмущение поверхности представляет собой стационарную волну произвольной формы, бегущую в положительном направлении оси  $x$ . Примечательно, что ее скорость не зависит от амплитуды волны и совпадает со скоростью линейных волн  $v_0$ . Подобное поведение в целом аналогично поведению нелинейных волн на поверхности жидкости в горизонтальном электрическом поле [22, 23]. Понятно, что полученный результат легко может быть обобщен на случай волн, бегущих в отрицательном направлении.

То обстоятельство, что распространение волн в направлении либо против направления оси  $x$  происходит без искажений (т. е. как в рамках линеаризованных уравнений (12)), не означает, что нелинейность не оказывает влияния на эволюцию системы. Нелинейность будет определять взаимодействие встречных нелинейных волн (для горизонтального поля — см. недавнюю работу [33]).

## 7. ЗАКЛЮЧИТЕЛЬНЫЕ ЗАМЕЧАНИЯ

В работе мы ограничились рассмотрением плоских волн, бегущих вдоль направления наклона внешнего электрического поля (т. е. вдоль оси  $x$ ). Обсудим, при каких условиях это ограничение является обоснованным.

Для распространяющихся в перпендикулярном направлении (вдоль оси  $y$ ) волн, как уже указывалось в разд. 2, горизонтальная составляющая поля  $E_x$  не оказывает влияния на поведение жидкости. Эволюция поверхности целиком определяется вертикальной составляющей поля  $E_z$ . Как можно увидеть из (1), при достаточно больших значениях  $E_z$  появляется область волновых чисел, для которых  $\omega^2 < 0$ , что соответствует аперидической неустойчивости границы жидкости. Подобная ситуация реализуется при  $E_z > E_c$ . Для сравнения, вдоль оси  $x$  условие развития неустойчивости является более сильным:  $E_z^2 > \varepsilon E_x^2 + E_c^2$ . Как следствие, доминирующую роль в развитии неустойчивости будут играть обладающие большими инкрементами гармоники в направлении  $y$ . При

$$E_z \leq E_c \quad (18)$$

для любых  $k_x$  и  $k_y$  будет  $\omega^2 \geq 0$ , т. е. неустойчивости не возникает.

Понятно, что при  $E_z > E_c$  появление неустойчивых гармоник в направлении  $y$  нарушает применимость рассмотрения, основанного на исследовании распространяющихся вдоль оси  $x$  плоских

волн. Это означает, что рассмотрение задачи в плоско-симметричной постановке будет обоснованным только при выполнении условия (18). Проанализируем, как оно сочетается с другими использованными нами условиями (3) и (16).

В первую очередь отметим, что если (16) справедливо, то условие (3) переписывается в более простом виде:  $\varepsilon E_x^2 \gg E_c^2$ . Объединяя его с условием (18), приходим к следующему двойному неравенству:

$$\operatorname{tg}^2 \theta \leq (E_c/E_x)^2 \ll \varepsilon. \quad (19)$$

Из (16), в частности, следует, что  $\operatorname{tg}^2 \theta \ll \varepsilon$ , так что реализация условия (19) вполне возможна. При этом двумерное дисперсионное соотношение (1) примет одномерный вид (6) для волновых чисел  $k_x$  из диапазона (4) и  $k_y = O(k_x)$ .

Итак, можно заключить, что основной результат нашей работы — выявленная возможность распространения нелинейных волн вдоль направления наклона внешнего поля без искажений — реализуется при выполнении условия (4) для характерных волновых чисел, условия (16) для проницаемости среды и условия (19) для напряженности приложенного поля.

Работа выполнена в рамках темы государственного задания № 0389-2014-0006 при поддержке РФФИ и Правительства Свердловской области (проект № 13-08-96010), а также Президиума УрО РАН (проект № 15-8-2-8). Работа одного из авторов (Е. А. К.) выполнена при поддержке фонда «Династия» и РФФИ (проект № 14-08-31194).

## ЛИТЕРАТУРА

1. J. R. Melcher, *Phys. Fluids* **4**, 1348 (1961).
2. Е. А. Кузнецов, М. Д. Спектор, *ЖЭТФ* **71**, 262 (1976).
3. H. Gleeson, P. Hammerton, D. T. Papageorgiou, and J.-M. Vanden-Broeck, *Phys. Fluids* **19**, 031703 (2007).
4. A. R. F. Elhefnawy, *Int. J. Eng. Sci.* **40**, 319 (2002).
5. N. M. Zubarev, *Phys. Fluids* **18**, 028103 (2006).
6. Е. А. Kochurin, N. M. Zubarev, and O. V. Zubareva, *Phys. Rev. E* **88**, 023014 (2013).
7. Л. П. Горьков, Д. М. Черникова, *ДАН СССР* **228**, 829 (1976).
8. В. С. Эдельман, *УФН* **130**, 675 (1980).

9. А. А. Левченко, Г. В. Колмаков, Л. П. Межов-Деглин, М. Г. Михайлов, А. Б. Трусов, ФНТ **25**, 333 (1999).
10. Н. М. Зубарев, Письма в ЖЭТФ **71**, 534 (2000).
11. В. Б. Шикин, УФН **181**, 1241 (2011).
12. Я. И. Френкель, ЖЭТФ **6**, 347 (1936).
13. Н. М. Зубарев, ЖЭТФ **114**, 2043 (1998).
14. Н. М. Зубарев, Письма в ЖТФ **25(22)**, 79 (1999).
15. Л. Д. Ландау, Е. М. Лифшиц, *Электродинамика сплошных сред*, Наука, Москва (1982).
16. J. R. Melcher and W. J. Schwarz, Jr., Phys. Fluids **11**, 260 (1968).
17. L. L. Varannyuk, D. T. Papageorgiou, and P. G. Petropoulos, Math. Comput. Simul. **82** 1008 (2012).
18. В. М. Коровин, ЖТФ **81(10)**, 12 (2011).
19. М. Ф. El-Sayed, Phys. Rev. E **60**, 7588 (1999).
20. D. T. Papageorgiou and J.-M. Vanden-Broeck, J. Fluid Mech. **508**, 71 (2004).
21. O. Ozen, D. T. Papageorgiou, and P. G. Petropoulos, Phys. Fluids **18**, 042102 (2006).
22. N. M. Zubarev, Phys. Lett. A **333**, 284 (2004).
23. Н. М. Зубарев, Письма в ЖЭТФ **89**, 317 (2009).
24. В. Тао and D. L. Guo, Comput. Math. Appl. **67**, 627 (2014).
25. В. Г. Баштовой, ПМТФ № 1, 81 (1978).
26. В. М. Коровин, ЖТФ **84(11)**, 1 (2014).
27. Ю. И. Диканский, А. Р. Закинян, Л. С. Мкртчян, ЖТФ **80(9)**, 38 (2010).
28. К. Zakaria, Physica A **327**, 221 (2003).
29. A. R. F. Elhefnawy, Physica A **182**, 419 (1992).
30. A. I. Zhakin, Fluid Dyn. **19**, 422 (1984).
31. D. T. Papageorgiou, P. G. Petropoulos, and J.-M. Vanden-Broeck, Phys. Rev. E **72**, 051601 (2005).
32. В. Е. Захаров, ПМТФ № 2, 86 (1968).
33. Н. М. Зубарев, Е. А. Кочурин, Письма в ЖЭТФ **99**, 729 (2014).